

Fe-Ba

1929

VI-774

CoBr_2 , FeBr_2 , MnBr_2 (Tm)

Ferrari, Giorgi

1. Atti accad. nazl. Lincei. Classe sci.

Fis. mat. e nat. 9, 1134 (1929)

Circ. 500

Ee

VI 1255 / 934

WNB $\text{FeCl}_2 \cdot 3\text{C}_2\text{H}_8\text{N}_2$; $\text{FeBr}_2 \cdot 3\text{C}_2\text{H}_8\text{N}_2$;
 $\text{FeJ}_2 \cdot 3\text{C}_2\text{H}_8\text{N}_2$; FeCl_2 ; FeBr_2 ; FeJ_2 ;
 $\text{Fe}(\text{CO})_4\text{Cl}_2$; $\text{Fe}(\text{CO})_4\text{Br}_2$; $\text{Fe}(\text{CO})_4\text{J}_2$;
 FeCO_5 ; $\text{C}_2\text{H}_8\text{N}_2$; (ΔH_f , ΔH_{sol})

Hieber W., Appel H., Woerner A.

Z. Elektrochem., 1934, 40, 252-7

Heats of formation and constitution
of ferrous halide · ca, 1934, 5324?

lly

1934 4 14

1934

VI-1310
 FeI_2 , FeCl_2 , FeBr_2 ; $\text{Fe}(\text{CO})_5$,

$\text{Fe}(\text{CO})_4\text{Br}_2$, $\text{Fe}(\text{CO})_4\text{I}_2$, $\text{Fe}(\text{CO})_4\text{Cl}_2$, (ΔHf)

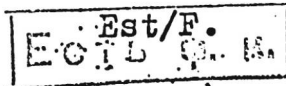
$\text{Fe}(\text{CO})_5$ ($\Delta \text{H}_{\text{sol}}$)

Hieber W., Woerner A.

Z.Elektrochem., 1934, 40, N6, 287-91.

Be, W.

CA, 1934, 57484



VI-1309

1934

FeBr₂, FeI₂ (E решетки)

Hieber W., Levy E.

Z.Elektrochem. 1934, 40, 291-5.

"Lattice energies of the iron ⁺⁺ halides and the nature of the radical Fe"

Eсть Est/E. (CO)₄"

M

CA., 1934, 57325

FeBr₂ (C_P) ^{VI} 1315

1940

Милютин Г.А., Наджирович Н.М.

Фізичні записи Ін-та Фізики
АН УССР, 1940, 9, том. 1, №1-74.

CA, 1949, 3093⁷

Б

1942

VI-1223

Fe(OH)^{++} , FeCl^{++} , FeCl_2^+ , FeBr^{++}
(Kp, Haq)

Rabinowich E., Stockmayer W.H.

J.Am.Chem.Soc.1942, 64, 335-47.

"Association of ferric ions with chloride,
bromial and hydroxyl ions (a spectroscopic
study)".

ECTEST/F.M.

CA., 1942, 1834²

Ja

1950
VI-1314.

FeBr₃ (P diss, ΔH, ΔG, ΔS)

Gregory N.W., Thackrey B.A.

J.Am.Chem.Soc., 1950, 72, 3176-78.

On equilibrium study of the thermal dissociation of ferric bromide.

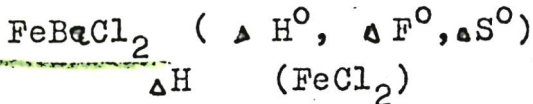
ЭСТЕМ. И.

M,

CA., 1950, 4498748g

1951

VI-1254



Gregory N.W.

J.Am.Chem.Soc.1951,73,5433-5.

"Thermodynamic and structural characteristics of the iron (III) phase formed by bromination of iron (II) chloride".

M,

F

CA., 1952, 18384

1952

VI-1258

FeCl_2 , FeBr_2 , FeCl_3 , FeBr_3 ,
 FeBrCl_2 ($\Delta \text{H}_{\text{aq}}$, $\Delta \text{H}_{\text{f}}$)

Li J.C.M., Gregory N.W.

J.Am.Chem.Soc, 1952, 74, 4670-2.

Heats of solution and formation of some
iron halides.

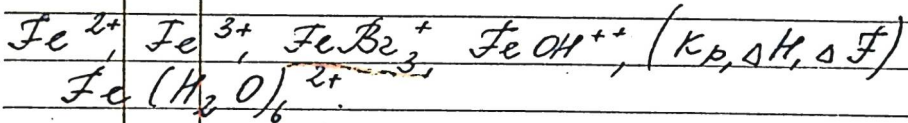
Est E C T b C. H.

W

CA., 1953, 1482a

~~1000000000~~

VI 1098 1952



Carter P.R., Davidson N.,

J. Chem. Phys., 1952, 56, ~~Recd.~~, 877-881.

B.

eeit q-n

FeBr₂ [Om. 35947] 1952

Мовчиков Г.И., Оранская обл. А.
II гр.

Kp, Af; Ученые Запорожской АТУ,
сеп. хим. наук, Вып. 11,
1955, 1952.

VII 6313

1954

FeBr₂, FeBr₃ (ob-fa)

Mae Laren R.O.,

Dissertation Abstr., 1954, 14, 1153-4

Equilibrium studies of iron bromide systems.

M.B.B

Rec'd 6-5-54

C.A. 1954, 13370 a

VI-1312

1983

FeBr₂ (P, α H_S, α Hm, Tb)

MacLaren R.O., Gregory N.W.

J.Phys.Chem., 1955, 59, N2, 184-186.

The vapor pressure of iron(II) bromide. 6

RX., 1956, N2, 3386 Be F

$\frac{1}{2} \text{ mol. FeBr}_2 = 367^\circ\text{C}$

T_m (DSC) = 691°C (964 ± 2 k)

FeBr₃ (ΔH_f° , ΔF° , S_{298}°) 1955

VI-1313

Fe₂Br₆(K, ΔH , P, D, ΔF° , S_{298} , [55 BRE/MCL])

S_{298} , ΔH_f°)

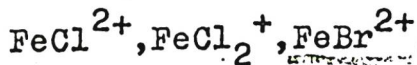
Gregory N.W., Maclaren R.O.

J.Phys.Chem., 1955, 59, N2, 110-113. & BIB.

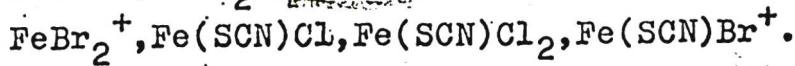
Vaporization reactions. The iron-bromine system.

RX., 1956, N22, 71132 Be, M F

1955



VI-1250



(K_{nest.})

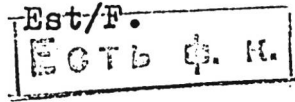
Lister M.W., Rivington D.E.

Canad.J.Chem., 1955, 33, N 10, 1603-13.

Some ferric halide complexes, and
ternary complexes. With thiocyanate ions.

RX., 1956, N13, 39311

Ja



FeBr₂ Messer 97% 1956

off Z. Anorg. Chem., 1956, 286, 42

P



V 1066

1957

/FeCNS²⁺, FeBr²⁺, ZnCNS⁺/(КС)

Джемірстай Н.Б., Тетюшкіна В.Д.
Дж. неоргак. химия, 1957, 2, №2, 320-29.

О Влиянии ионной силы на стабильность
нестойкости галогенидных и псевдогало-
генидных комплексных соединений.

PJX., 1957, 76819

Ja.

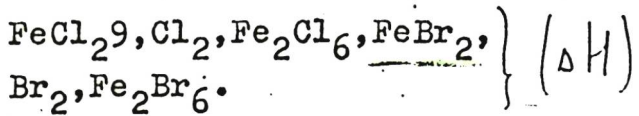
F

1958

FeBr_2	E.F. Westrum, aff. S.K.M. 1958, Jd 1B comp 44 155
FeBr_2	
C_p , 6° - 3000°K ΔH_{f}	

1958

VI-1273



Wilson L., E., Gregory N.W.

J.Amer.Chem.Soc., 1958, 80, N9, 2067-69.

Vaporization of iron (II)chloride in
bromine.6

Est	УФ	СТЬ	Ф. И.
-----	----	-----	-------

RX., 1958, N24, 81019 Be, M.

1959

VI-1311

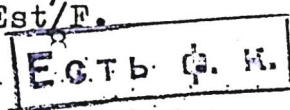
FeBr₂ (Cp, Ttr, H, S)

Gregory N.W., O'Neal H.E.

J.Amer.Chem.Soc., 1959, 81, N11, 2649-52.

A. structural change in iron (II) bromide
near 400°.

Est/F.



RX., 1960, 41887 Be

FeBr_x

1959

434. Масс-спектрометрическое изучение испарения бромистого железа. Портер, Скуимейкер (A mass spectrometric study of the vaporization of ferrous bromide. Porter Richard F., Schonmaker Richard C.), J. Phys. Chem., 1959, 63, № 4, 626—628 (англ.)

Выполнено масс-спектрометрическое исследование испарения FeBr₂ в интервале т-р 300—400°. Испарение проводилось из железной эвакуационной камеры. Отношение площади отверстия к поверхности испарения было $< 5 \cdot 10^{-4}$. До точки плавления основной компонентой пара является мономер FeBr₂; заметные кол-ва димера Fe₂Br₄ обнаруживаются только при т-рах выше точки плавления. Найдены потенциалы появления ионов (в э): Fe⁺ 16,6; FeBr⁺ 12,9; FeBr₂⁺ 10,7; FeBr₃⁺ 13,6; Fe₂Br₄⁺ 12,6 (всегда $\pm 0,5$). По рассчитанному давлению пара димера Fe₂Br₄ и оценочной оптимизации димеризации FeBr₂ (-28 ± 5 эв) вычислено для р-ции Fe₂Br₄ (газ) = 2FeBr₂(газ) теплота диссоциации димера $\Delta H_{640}^{\circ} = 34,7 \pm 4$ ккал/моль. Используя эту величину, а также известную из литературы теплоту сублимации мономера FeBr₂ (47,1 ккал/моль), авторы определили теплоту сублимации димера Fe₂Br₄ $\Delta H_{640}^{\circ} = 59,5 \pm 6$ ккал/моль. Равните в теплотах сублимации мономера и димера (12,4 ккал) удовлетворительно совпадают с величиной 14,2 ккал, найденной авторами из шкалона прямой графика зависимости $\lg(I_{FeBr_2^+}/I_{Fe_2Br_4^+})$ от $1/T$.

10. Ходеев

$\Delta H, \Delta H_s$

8.

ВР-11-1097

Diderer, Christopher

1959.

Feb 2

Poiteri Richard F.

Schonmayer Richard C.

aj. Phys. Chem., 1959, 63, NY

626-628.

Mass - спиритометрическое
изучение немаркированного
дигидротиофолата.

X-60- - 434.

станн

1959

VI-500

CrCl_2 ; CrBr_2 ; MnCl_2 ; MnBr_2 ; FeCl_2 ;
 FeBr_2 ; FeI_2 ; CoCl_2 ; CoBr_2 ; NiCl_2 ; NiBr_2

(ΔH_{dim} ; ΔF_{dim})

Schoonmaker R.C., Friedman A.H., Porter R.F.
J. Chem. Phys., 1959, 31, N6, 1586-89.

RA., 1960, N15, 6021

M.J.

E G T B Φ. K.

FeBr_2 at 20°, l

[59 KLL/CAB]

Specular ref. copper

1959.

Wilkinson M. R., Cable F. W.,
Wollan E. O., Koehler W.C.

Phys. Rev., 1959, 113, p. 497

bledeus!

1960
VI-1269

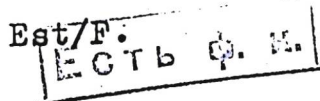
FeCl₂, FeBr₂, FeJ₂

(P, ΔH_s, ΔS)

Sime R.J., Gregory N.W.

J.Phys.Chem., 1960, 64, N1, 86-89.

Vapor pressures of FeCl₂, FeBr₂ and FeJ₂
by the torsion effusion method.



Б, 10

РГАНХ: 1960, 87724

Сдел. на обложке

14298 %

FeOz 45,3±2

FeBuz 46,7 ± 2

FeZ (44,7 ± 4)

VI-1237

1961

FeSCN^{2+} , $\text{Fe}(\text{SCN})_2^+$,
 $\text{FeF}, \text{FeF}_2^+$, FeSCNF^+ , FeSCNF , FeSCNCl^+ ,
 FeSCNBr^+ , $\text{Fe}(\text{SCN})_2^+$, FeCl_2^+ , FeBr_2^+ ,
 $\text{FeSO}_4 \text{SCN}), \text{FeSCN}^{2+}$ (ΔHf , ΔSf , ΔFf , K_p)

Yalman R.G.

J.Amer.Chem.Soc., 1961, 83, N20, 4142-46.

Stability of the mixed complex

FeSCNF^+ .

Est/orig.

RX., 1962, 14B65 Ja

FeBr₂ Kühn Hubert; Ernst Werner ¹⁹⁶²

"F. anorgan. und allgemein Chem"

heute am

1962, 317 VI-2, 84-90

Toreyenne Sphalerite FeCl₂

CrCl₂, FeBr₂, CrB₂



FeB_2 (r)

mmmeek 1721

1963

ΔH_f°

ΔH_S°

ΔZ

L.Brewér, G.R.Somayájulu et al.
J.Chem.Rev. 1963, 63, III
THERMODYNAMIC PROPERTIES.....

Б9- 2019-VI

1963

FeBr₂ (Ttr, K, ΔG°)

FeCl₂

Gregory N.W., Wydeven T.

J.Phys. Chem., 1963, 67, 927-8

Ferrous chloride-ferrous bromide system at
400°.

CA, 1963, 58, N 13; 13189e

Бе.МЛ

Есть оригинал

Bcp - 2024 - VI)

1964

FeBr₃

FeBr₂

Tcrys. cb. bg

An effusion study of the decomposition of iron (III) bromide. R. R. Hammer and N. W. Gregory (Univ. of Washington, Seattle). *J. Phys. Chem.* 68(4), 963-5 (1964). An effusion study was made, by using a torsion app. (CA 60, 6467d), of the decompn., $2\text{FeBr}_3(s) \rightleftharpoons 2\text{FeBr}_2(s) + \text{Br}_2(g)$. The effusion pressures (due to Br₂) were 1/10,000 to 1/500 as large as expected equil. values. No systematic correlation existed between cell geometry and effusion pressures. The decompn. of FeBr₂ appeared to occur largely at the edges of the platelike crystals. The effusion method was not useful as a means for detn. of relative thermodynamic properties of Fe(III) and Fe(II) bromides and chlorides.

G. Aravamudan

C.A. 1964 60 15418 h.

FeBr_3
 FeBr_2

БФ-2024-VI

1964

1 Б388. Исследование разложения бромида трехвалентного железа методом эффузии. Hammer R. R., Gregory N. W. An effusion study of the decomposition of iron (III) bromide. «J. Phys. Chem.», 1964, 68, № 4, 963—965 (англ.)

Р
Разложение твердого бромида железа по урнио
 2FeBr_3 (тв.) = 2FeBr_2 (тв.) + Br_2 (газ) исследовано ме-
тодом эффузии в интервале 40—70° в предположении,
что испаряется только бром и давление пара обоих бро-
мидов железа пренебрежимо мало. Эксперим. результа-
ты приведены только на графике и показывают значи-
тельный разброс.

А. Грановская

Х. 1965.1

Gr Br₂ Or. 20878 Wydeven Th. J.

1964

(Fe Br₂)

ГР

Dissert. Abstes., 1964, 25, N5, 2791.

Исследование минерало-литогенетических
и структурных механизмов
изменений двухвалентных
переходных металлов.

(Cat. Fe S₂)

(Cat. FeBr₂) I

Or. 20878

FeBr₂ Christian J. D.

1965

D-4

(k_p) "A spectrophotometric
study of halide vapor phase
equilibria at elevated
temperatures (dissertation)

Univ. of Washington, 66-5820

FeBr₂

feber r. c. m. a. no. e. e.
feber r. c. m. o. b.

1965

Feber R. C.

Rept YA-3164, UC-4
Chemistry TID-4500
(40 th Ed.)

Los Alamos New Mexico, Univ. Calif.
for. 1964; distributed May 1965, p 71

3414-VI

1965

MnBr_2 , FeBr_2 , CoBr_2 , CoBr_2 , NiBr_2 , CuBr_2 , ZnBr_2 ,
 $(\text{CH}_3)_4\text{NBr}$ (Δ Haq)

Paoletti P.
Trans. faraday Soc. 1965, 61, N 2, 219-24

Thermochemical studies. Part 14. Thermochemistry of some transition metal tetrabromo-complexes.

PJX, 1966, 145555

W.

ECTB F orig. 894744

VI 6649

1966

FeCl₂, FeBr₂, FeCl₂·2H₂O, CoCl₂·2H₂O
(T_{tr})

Narath A., Schizer J.E.,
J. Appl. Phys., 1966, 37, n^o 3, 1124-1125

T

ВР- VI- 4135

1967

FeBr₂

БФА - 402

ΔH°
298

S°
298

23 Б617. Равновесие между окислом трехвалентного железа и бромистым водородом. Christian J. D., Gregor N. W. Equilibrium between iron (III) oxide and hydrogen bromide. «J. Phys. Chem.», 1967, 71, № 6, 1583—1587 (англ.)

В интервале 468,0—597,4° К спектрофотометрич. методом изучено равновесие Fe_2O_3 (тв.) + 6НBr (газ.) = 2 FeBr₂ (тв.) + 3H₂O (газ) + Br₂ (газ), для которого найдена т-риая зависимость $\Delta G_T^\circ = -35800 + 43,8 T$. Откуда для FeBr₂ (тв.) $\Delta H^\circ 298 = -59,6 \pm 1$ ккал/моль, $S^\circ 298 = 33,3 \pm 1$ энтр. ед.

Р. Д. Шаповалова

Х. 1967. 23

FeBr₂

B9a VI-4135

1967

ΔH_f
 ΔS_f

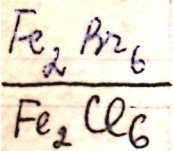
6204z Equilibrium between iron(III) oxide and hydrogen bromide. J. D. Christian and N. W. Gregory (Univ. of Washington, Seattle). *J. Phys. Chem.* 71(6), 1583-7(1967)(Eng). A spectrophotometric study of the equil. between HBr and Fe₂O₃ has been made. The standard enthalpy of formation, -59.6 kcal./mole, and entropy, 33.3 cal./mole-degree, of FeBr₂ at 25° have been evaluated from the results. RCKG

C.A. 1967. 67. 2

1967

59

4351-И



AH°

6 Б762. Светопоглощение паров бромного и хлорного железа в ультрафиолетовой и видимой области.
Christian J. D., Gregory N. W. Vapor-phase absorption characteristics of iron (III) bromide and iron (III) chloride in the ultraviolet-visible region. «J. Phys. Chem.», 1967, 71, № 6, 1579—1583 (англ.)

Исследованы поглощательные способности паров FeBr₃ и FeCl₃ в интервале 0,2—0,75 μ при 200—450°. В кварцевых ячейках помещались: Fe+Br₂, FeBr₂+Br₂ и FeCl₃+Cl₂. Спектры поглощения имеют 2 перекрывающихся максимума, что объясняется присутствием в газе димеров Fe₂Br₆ и Fe₂Cl₆. По температурной зависимости поглощения для р-ции 2FeBr₂ (тв.) + Br₂(г) = Fe₂Br₆ (г) найдена энталпия ΔH° = 15,7 ± 0,5 ккал, что согласуется с др. данными. Димеризация в случае хлорида почти полная (до 99% и более).

С. Никольский

+2



Х. 1968 : 6

BP 4551-17 1967

FeCl₃
Fe₂Br₆
(hexaferro)
Vi

-6893y Vapor-phase absorption characteristics of iron(III) bromide and iron(III) chloride in the ultraviolet-visible region. J. D. Christian and N. W. Gregory (Univ. of Washington, Seattle). *J. Phys. Chem.* 71(6), 1579-83(1967)(Eng). The vapor-phase absorptions of Fe(III) bromide and Fe(III) chloride in the interval 200-750 m μ and at 200-450° have been observed. The dimers appear to be the principal absorbing species and exhibit double max. in this interval. Absorptivities have been assigned for Fe₂Br₆ between 350 and 750 m μ . RCKG

+1

C.A. 1967-67-2

1967

FeBr

Hastie J.W., Mangnane R.B.

Ionisation Potentials and Molecule-
Ion Dissociation Energies for Diatomic
Metal Halides.

ecius Beetswijk

(coll. LiF)

Fe Br₃ (c)

1967

(l)

YARFF Thermochemical Tables, II gen., 1967

80213.3052

Ch

 $\text{FeSO}_4 \cdot \text{FeBr}_2$ $[\text{FeBr}_2]_2 + 23508$ $\text{SO}_4(\text{K}_2\text{Cl})_2$

N 4620 C

1967

Masłowska Joanna. Mieszane kompleksy żelaza (III). I. Spektrofotometryczne badanie układu $\text{Fe}(\text{ClO}_4)_3 \cdot \text{NaBr} \cdot \text{Na}_2\text{SO}_4 \cdot \text{H}_2\text{O}$. "Roczn. chem.", 1967, 41, N 11, 1857-1866

(польск.; рез. русск., англ., нем.)

оригин.

644

84

ВИНИТИ

1967
VI-4511

Mn₂Br₂, FeBr₂, CoBr₂, NiBr₂,
CuBr₂, ZnBr₂ (o Haq)

Paoletti P., Ciampolini M.

Inorgan.Chem., 1967, 6, N1, 64-68.

Relative bond dissociation energies and
heats of formation of two series of five-
coordinated metal complexes from manganese
(II) to zino (II).

RX., 1967, 226563, W,

F

Fe Br₂

Westrum, E. F., et al. 1968

Cp

6 - 300°K;

ΔH_t



FeBr₂

16 В44. Исследование термических превращений бромидов железа. В. о р. б. ѿ с. Н. И., Рупчева В. А., А. м. и. р. о. в. С. А. «Ж. неорган. химии», 1968, 13, № 3, 638—641

1968

FeBr₃

Терм.
дисс.

Проведено термографич. исследование кристаллогидратов FeBr_2 (I) и FeBr_3 в инертной, окислительной и восстановительной средах. Дегидратация $\text{FeBr}_2 \cdot 4\text{H}_2\text{O}$ (II) в инертной среде происходит ступенчато при 130, 150, 180° и не сопровождается гидролизом. Обезвоживание $\text{FeBr}_3 \cdot 3,2\text{H}_2\text{O}$ (III) в этих условиях сопровождается термич. диссоциацией FeBr_3 на I и Br_2 , благодаря чему гидролиз протекает в незначительной степени. При нагревании II в окислительной атмосфере наряду с процессом дегидратации происходит окисление I. При обезвоживании III в окислительной атмосфере процессу окисления предшествует термич. диссоциация FeBr_3 . Восстановление бромидов Fe в атмосфере водорода происходит нацело при 830° с образованием металлич. Fe и выделением HBr в газовую фазу.

Резюме

X · 1968 · 16

Fe Br₂

Westrum E.F. et al.

1969

DTT, 1969, N12, 34 GPa

Cp, 6 - 300°K

ΔH_f

Fe Br₂ 2+

ВР-VI-4483

1920

8 В82. Влияние температуры на термодинамические характеристики реакции образования бромидного комплекса железа (III) в водном растворе. Кочергина Л. А., Васильев В. П., «Изв. высш. учебн. заведений. Химия и хим. технол.», 1970, 13, № 10, 1448—1452

Лексі
ΔH°

Фотометрическим методом определены константы нестойкости комплекса FeBr^{2+} в водн. р-ре при т-рах 5, 10, 15, 20, 25, 35 и 50° и значениях ионной силы 2,0; 3,0 и 4,0 в присутствии нитратов Mg и Al. Найдено, что тепловой эффект р-ции образования FeBr^{2+} существенно зависит от т-ры. При т-ре 50° $\Delta H^\circ = 9,3 \text{ ккал/моль}$, а при 5° тепловой эффект р-ции близок к нулю. Автореферат

X. 1981. 8

FeBr²⁺

B95-VI-7783

1970

57945u Effect of temperature on the thermodynamic characteristics of the formation of an iron(III) bromide complex in an aqueous solution. Kochergina, L. A.; Vasil'ev, V. P. (Ivanov. Khim.-Tekhnol. Inst., Ivanovo, USSR). Izv. Vyssh. Ucheb. Zaved., Khim. Khim. Tekhnol. 1970, 13(10), 1448-52 (Russ). Instability consts. for the formation of FeBr²⁺ are detd. by a photometric method in aq. solns. of Mg(NO₃)₂ and Al(NO₃)₃ at ionic strengths of 2.0, 3.0, and 4.0 and at 5-50°. A method of correlating the data is established. The heat of formation of FeBr²⁺ decreases from 9.3 kcal/mole at 50° to ~0 at 5°.

C. E. Stevenson

C.H. 1971. 21. R

Fe³⁺, FeBr₂⁺, Fe(SCN)⁺, Fe(SCN)₂(cp) ^{V1732.8 1/970}

Kračochvíl B, Long R. G.

Can. J. Chem., 1970, 48, N^o 9, 1414-1419 (can)

Study of iron (II) complexes with
halides and thiocyanate in acetonitrile.

P18 Jun, 1970

21B105

O 8 B (cp)

FeBr₂

БФ-XVI-189

1971

№ 12 Е1125. Низкотемпературная теплоемкость ферро-
бромида и ферриодида. Grade R. M., Yates B. The
low temperature heat capacities of ferrous bromide and
ferrous iodide. «J. Phys. C: Solid State Phys.», 1971, 4,
№ 8, 876—883 (англ.)

Исследована истинная теплоемкость FeBr₂ и FeJ₂ в
диапазоне т-р 6—295° К. Теплоемкость имеет хорошо вы-
раженный максимум вблизи т-ры Неселя, равной 11,4° К
для FeBr₂ и 8,9° К для FeJ₂. При этом магн. вклад в
теплоемкость описывается уравнениями (C_m в дж/моль°К).



(+1)

Ф. 1971.12.6



$C_m = 13,6 - 17,4 \lg|T - T_N| (T < T_N)$ и $C_m = 14,4 - 13,6 \lg|T - T_N| (T > T_N)$ для FeBr_2 и $C_m = 9,0 - 16,8 \lg|T - T_N| (T < T_N)$ и $C_m = 7,2 - 1,1 \lg|T - T_N| (T > T_N)$ для FeJ_2 . Энтропия перехода в предположении, что для ионов Fe^{++} спин равен $4/2$, оценена в $13,1 \pm 0,6 \text{ дж/моль}^\circ\text{К}$ для обоих соединений. Для FeJ_2 рассчитана температурная зависимость т-ры Дебая. Полученные результаты сравнены с данными для других аналогичных соединений. Библ. 13.

В. Е. Зиновьев

FeBr₂

BP-XVI-189

1981

542442 Low temperature heat capacities of ferrous bromide and ferrous iodide. Brade, R. M.; Yates, B. (Dep. Pure Appl. Phys., Univ. Salford, Salford, Engl.). *J. Phys. C* 1971, 4(8), 876-83 (Eng). The sp. heats of ferrous bromide and ferrous iodide are reported in the approx. temp. range 6-295°K. The results are accurate to within 2 per cent at 295°K and 5 per cent at 6°K. The sp. heats displayed anomalies at 11.4 and 8.9°K, resp., and these have been assocd. with transitions to a state having ferromagnetic coupling between Fe²⁺ ions within layers, and antiferromagnetic coupling between adjacent layers. The approach to and departure from the peak in each curve of deduced magnetic heat capacity against temp. is logarithmic, and the entropy changes are consistent with values calcd. assuming a spin $\frac{1}{2}$ for the Fe²⁺ ions, that is 13.1 J mole⁻¹ degree⁻¹ for both solids.

cp

(H)

C.A. 1981.95.8

X

FeBr_2

YANAF

1971

100-1500°(crystal)
100-2000°(Liquid)
(1966)

$\text{Fe}(\text{BrO}_3)_2$

$^{2+}$

$\text{Fe}(\text{BrO}_3)_2$

+ koenz.

mepes.
cb - ba

Kc

Morris A. F., et al.

1971

J. Inorg. and Nucl.

Chem., 1941, 33, N^o 4, 2077.

(See. Fe - Cl - O)^I

FeBr²⁺

FeBr₂⁺

Re

ΔH

X·1971·15

15 В69. Комплексообразование иона трехвалентного железа с ионами брома в водных растворах. Тэ руя Кинти, Сэки Тосико, Накамори Иссэй. «Когё кагаку дзасси, Kogyo kagaku zasshi; J. Chem. Soc. Jap.

Ind. Chem. Sec.», 1971, 74, № 2, 142—147, A9 (япон.; рез. англ.)

Спектрофотометрическим методом исследовано ступенчатое образование комплексов FeBr²⁺ (I) и FeBr₂⁺ (II) в водн. р-рах. Константы комплексообразования и мол. коэф. экстинкции (ϵ) для I и II при 20° определены при $\lambda=380—450$ нм и ионной силе р-ра, равной 3. Значения K_1 и K_2 для I и II равны $2,13 \pm 0,03$ и $0,408 \pm 0,005$ соотв. Вычислены термодинамич. характеристики K° , ΔG° (ккал/моль); ΔH° (ккал/моль) и ΔS° (э. е.), равные для I 4,75; 0,91; 6,1; 17,7 и для II 0,98; 0,0001; 2,74 и 9,34 соотв. Спектры I и II характеризуются максимумом поглощения при 407 нм ($\epsilon_I=216$, $\epsilon_{II}=930$).

Резюме

1971

БР

FeBr_2

Lancgas, M. C.

1972

$(T_N; C_p)$

"J. Phys." (Paris)
1972, 33, N4,
429-33.

($c_{\text{eff}} \cdot \text{FeCl}_2, I$)

11972

FeBr₂

Cp, 6-300C, sHt

Westrum E.F., Jr., et al.

5T, N15, cmyo.42.

Febr 2

1983

Basim Y., et al

298-964 (sol)

964-1204 mon I, cmp. 286
(eq)



(acc AgF)I

ВФ-XVI-1134

1973

FeBr₂

✓ 13 Б888. Переход метамагнитной фазы в бромиде двухвалентного железа. Fert A. R., Caggaga P., Lanusse M. C., Mischler G., Redoules J. P. Transition de phase métamagnétique du bromure ferreux. «J. Phys. and Chem. Solids», 1973, 34, № 2, 223—230 (франц.; рез. англ.)

Изучено характеристич. мегамагнитное поведение монокристалла FeBr₂, расположенного в постоянном магнитном поле величиной ~60 кэ, параллельном оси намагничивания, и установлено, что для FeBr₂ в постоянном магнитном поле характерен переход из антиферромагнитного состояния в парамагнитное состояние. На основании прецизионных магнитных измерений построены изотермы намагниченности, характеризующиеся двумя изломами, соотв-щими магнитному фазовому переходу первого порядка антиферромагнетик→парамагнетик ($T_p < T_c = 4,7^\circ\text{K}$) и фазовому переходу второго рода ($T_c < T_p < T_N = 14,2^\circ\text{K}$), где T_p — т-ра перехода, T_c —

X. 1973 № 13

т-ра Кюри, T_N — т-ра Нееля. Мол. магнитная восприимчивость монокристалла FeBr_2 составляет $2,1 \cdot 10^{-2}$ и $14 \cdot 10^{-2}$ ед. CGSE/моль при измерениях параллельно и перпендикулярно кристаллографич. оси c при 1°K соотв., а эффективный магнитный момент равен $3,9 \pm 0,1 \mu_\text{B}$ при т-ре ниже $4,5^\circ\text{K}$. Отличительной особенностью поведения FeBr_2 является существование метастабильной упорядоченной антиферромагнитной фазы при определенных значениях т-ры и магнитного поля до точки фазового перехода $14,2^\circ\text{K}$. На основании теор. модели Иэнига и гипотезы о сильном внутреннем магнитоэластич. взаимодействии высказано предположение о существовании подобных магнитных фазовых диаграмм для целого ряда в-в. Построена реальная магнитная фазовая диаграмма FeBr_2 с учетом относит. значений параметров J_1 , J_2 и D , учитывающих соотв. энергетич. факторы ферромагнитного и антиферромагнитного взаимодействий и анизотропии кристалла; в общем случае $J_1 > 0$, $J_2 < 0$, $D > 0$.

А. В. Салов

1974

Fe Br₂

magnetic susceptibility of ferrous
halides ferrous chloride, ferrous
bromide, and ferrous iodide.

(T'Nul)

Bertrand, V.

J. Phys. (Paris) 1974, 35(4) 385-91
(Fr)



(see FeCl₂; T)

C.A. 1974. 80 N 24

Fe Br₂

1974

(Tr)

Letterst F. J.
Kahrus G. M.

J. Phys. (Paris) Colloq.
1974, (6) 403-6 (Eng).

(see FeCl₂; I)

1974

FeBr₃

3

КНИГА У МЕДВЕДЕВА
Новиков И.И. Орехова С.Е.
Химия и хим. технология, вып. 7,
стр. 12-32, Издат. "Выс. школа" 1974 г.
Минск.
Некоторые вопросы химии парообрази-
и компл. соединений.

1974

FeBr₂

КІМГА У МІНСЬКА

Порукод. Н.Н. Срокова С.В.
Житіє в міл. Томічногірі
вул. 7, будівля-32, підп. "Ліс.

школа" 1974г., г. Мінск.

Післяродове відходи житіє в паро
образці. Н.Н. Срокова С.В.

FeBr₃

1974

67421z Sublattice magnetization in iron(III) bromide below the critical region. Oosterhuis, W. T.; Windov, B.; Spas- talian, K. (Phys. Dep., Carnegie-Mellon Univ., Pittsburgh, Pa.). *Phys. Rev. B* 1974, 10(11), 4616-20 (Eng). Moessbauer-effect measurements for a new antiferromagnet, FeBr₃, below the crit. region indicate that the sublattice magnetization obeys a power law $H(T) = H_0 B(1 - T/T_N)^{\beta^*}$. The FeBr₃ data are fit with three adjustable parameters B , T_N , and β^* with $T_N = 15.72^\circ\text{K}$, $B = 1.035$, $\beta^* = 0.151$ giving the best fit in a least-squares pro- cedures. $H_0 = 460$ kOe is the measured hyperfine field at satn. ($T \rightarrow 0$). The exponent $\beta^* = 0.151$ is unusually small and in fact is about half the value of 0.31 \leftrightarrow 0.33 found exptl. and theor. in most 3-dimensional magnetic systems. The small value for β^* may be due to the proximity of a tricrit. point. Extreme broadening of the Moessbauer lines occurs as the temp. ap- proaches T_N —possibly because of crit. slowing down in the spins. This broadening precludes an anal. of the data within the crit. region.

C.A 1875 82 NO

$\text{Fe Br}_2 \cdot 2\text{H}_2\text{O}$

1976

Förstat H.

Cp.

15 TT, N 19. 123

(9. Uppgradera)

отмече 5887 и 14184 1977
гес. поглощ. в III сант. м.

FeBr_2

Fe_2Br_4

14, 15

З Б180. УФ- и видимые спектры поглощения паров системы железо — бром. Молекулярные комплексы и термодинамика испарения. Gregory N. W. The ultraviolet-visible absorption spectrum of vapors generated in the iron — bromine system. Molecular complexes and vaporization thermodynamics. «J. Chem. Phys.», 1977, 61, № 19, 1857—1860 (англ.)

В области 200—800 нм измерены спектры поглощения системы Fe — Br. При 840—1100° К получены спектры FeBr_2 (250 нм) и Fe_2Br_4 (280 нм) и определены коэф. поглощения этих молекул. Для FeBr_3 и Fe_2Br_6 полосы наблюдали в области 300 нм. На основании термодинамич. констант, имеющихся в лит-ре, для этих молекул можно предсказать конц-ии, к-рые хорошо коррелируют с данными по поглощению в исследуемых системах при различных т-рах и давл. брома. Полосы

2, 1978, № 3

8 и 14184

1980, 84, p. 1452
гес. поглощ. в III сант. м.

Feb 2. Commica 5887u 14184 1977
(non-pabina)

p. 1858. The temp. designated in the caption and Fig. 1 were incorrectly labeled k.

87: 143531f The ultraviolet-visible absorption spectrum of vapors generated in the iron-bromine system. Molecular complexes and vaporization thermodynamics, Gregory, N. W. (Dep. Chem., Univ. Washington, Seattle, Wash.). *J. Phys. Chem.* 1977, 81(19), 1857-60 (Eng). Molar absorptivities were assigned for the species $\text{FeBr}_2(\text{g})$ and $\text{Fe}_2\text{Br}_4(\text{g})$ at 250 and 280 nm and for $\text{FeBr}_3(\text{g})$ and $\text{Fe}_3\text{Br}_6(\text{g})$ at 300 nm, resp., the wavelengths at which absorbance peak max. are obsd. Thermodn. consts., reported previously for these mols., predict concns. which correlate satisfactorily with absorbance data at various bromine pressures and temps. No evidence suggests formation of substantial concns. of mixed valence state intermediate mols. in the mixts. studied. Thermodn. consts. for the vaporization of FeBr_2 were derived from absorbance data.

C.A. 1977

84

2/18

(+) $\text{FeBr}_4 \cdot \text{Fe}_2\text{Br}_6$
 FeBr_3' (complex)

The values shown in the
table above are
for the first
group of
thermodynamic
constants.

Lommuck 14289

1977

FeBrz.

Landsberg A., Adams A.,
Hill S. D.,

P;

Report of Investigations

8207, 1977

au. FeBrz, I

(Bureau of Airlines)

FeBr_3 (76.)

1974

Bardin Y., et al

298-600

mass II, emp. 24%

• $(\text{cse Ag})^-$

FeBr²⁺

1977

FeCl²⁺

2 В76. Константы равновесия реакции комплексообразования и замещения в галогенидных комплексах Fe^{III} в широком интервале температур. Николаева Н. М. «Ж. неорган. химии», 1977, 22, № 9, 2447—2452

(K_p)

Потенциометрически определены константы равновесия ($\lg K$) р-ции образования $\text{Fe}^{3+} + \text{Br}^- = \text{FeBr}^{2+}$ (I) и р-ции замещения Br^- на Cl^- в I с образованием FeCl^{2+} (II) в водн. р-рах при т-рах от 25 до 125° и ионных силах (μ): для I 2,08—0,53, для II 1. Установлено, что для I т-ра в большей степени влияет на изменение $\lg K_I$, чем изменение μ . Экстраполированием

20. 1978, № 2

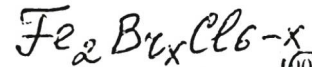


71

по ур-нию Васильева и графически по зависимости $\lg K_I - \gamma \mu$ определены значения $\lg K_I$ I при $\mu=0$. Найденные для I и II зависимости $\lg K$ от т-ры (в указанном интервале) описываются соотв. ур-ниями: $\lg K_I = 4,38 - 0,0246 \cdot T + 4,62 \cdot 10^{-5} \cdot T^2$ и $\lg K_{II} = 2,65 - 0,0147 \cdot T + 2,80 \cdot 10^{-5} \cdot T^2$, из к-рых получены соотв-щие значения термодинамич. характеристик р-ций: $-\Delta G$ (ккал/моль), ΔH (ккал/моль) и ΔS (э. е.). Используя данные по константам образования II, полученные в тех же условиях, рассчитаны константы замещения Bg^- на Cl^- в I.

Г. П. Чичерина

1979



(P)

(00) 142745d Interaction of bromine with iron(II) chloride.
Gregory, N. W. (Dep. Chem., Univ. Washington, Seattle, Wash.). *J. Phys. Chem.* 1979, 83(6), 688-92 (Eng). An absorbance study at 260-600° of the vaporization reaction between Br and $\text{FeCl}_2(s)$ indicates that mixed halide Fe(III) mols., $\text{Fe}_2\text{Br}_x\text{Cl}_{6-x}$ and $\text{FeBr}_y\text{Cl}_{3-y}$, are major constituents of the equil. vapor. The equil. solid phase is a solid soln. contg. substantial amts. of Br ion and small amts. (up to mole fraction 0.1) of ferric ion. Thermodn. properties of the mixts. are discussed.

C.A. 1979, 90, N18

Feb 2

Ommeck 15107J

1979

T Neel

Pollini I., Spinolo F.,
Phys. lett., 1979, 72A,
N3, 281-284.

Оттиск 15191

1980

FeBr₂

14 Б659. Фарадеевское вращение при комнатной температуре для FeBr₂ в импульсном поле. Day P., Taberg I. Room temperature Faraday rotation of FeBr₂ in a pulsed field. «J. Phys.», 1980, D13, № 2, 243—246 (англ.)

В импульсных магнитных полях напряженностью до 20 тесла в диапазоне длин волн 500—850 нм при комн. т-ре исследовано фарадеевское вращение для монокристаллов метамагнетика FeBr₂ (I), имеющего гексагон. структуру типа CdJ₂ и точку Нееля $T_N = 14$ К. Измерены также спектры пропускания этих кристаллов. Установлено, что в спектре I в интервале 600—800 нм наблюдается ряд слабых полос поглощения, причем величина коэф. поглощения в этом интервале не превышает

Hz

стр. L 43 — L 46

Х 1980 N 14

5 см⁻¹. При 600—540 см⁻¹ в спектре поглощения наблюдается интенсивная полоса, обусловленная переходами в тройное состояние. В противоположность поглощению, фарадеевское вращение непрерывно возрастает при уменьшении длины волны, достигая 65° см⁻¹·тесла⁻¹ при 500 нм. В полях напряженностью выше 2 тесла отношение вращения к затуханию в I при комн. т-ре выше, чем в FeVO₃. Рассмотрены возможности применения I как материала для фарадеевских модуляторов, а также для вращения плоскости поляризации излучения импульсных лазеров и вентилей в оптич. диапазоне.

В. М. Новоторцев

1981

FeBr₃FeBr₂

акт реакц,
брониров,
FeBr₃

18 Б1168. Термодинамические закономерности газофазного бромирования метана в присутствии акцептора бромистого водорода. Кочкин Ю. Н., Табаков А. В., Тменов Д. Н. «Ж. прикл. химии», 1981, 54, № 5; 1110—1112

Приведены результаты термодинамич. расчетов р-ций взаимодействия HBr с окислами железа и меди, а также окисления бромидов железа и меди. Приведенные данные подтверждают возможность практической реализации процесса газофазного бромирования метана с высокой степенью использования брома и без вывода HBr из реакционного аппарата, что существенно улучшает экономич. показатели процесса и исключает коррозию аппаратуры блока разделения. Тепловые эффекты для р-ций $\frac{1}{6} \text{Fe}_2\text{O}_3 + \text{HBr} \rightarrow \frac{1}{3} \text{FeBr}_3 + \frac{1}{2} \text{H}_2\text{O}$, $\text{FeO} + 2\text{HBr} \rightarrow \text{FeBr}_2 + \text{H}_2\text{O}$, $3\text{HBr} + \frac{3}{4} \text{O}_2 \rightarrow \frac{3}{2} \text{Br}_2 + \frac{3}{2} \text{H}_2\text{O}$, $\text{FeBr}_2 + \frac{3}{4} \text{O}_2 \rightarrow \frac{1}{2} \text{Fe}_2\text{O}_3 + \text{Br}_2$, $\frac{1}{2} \text{Fe}_2\text{O}_3 + 3\text{HBr} \rightarrow \text{FeBr}_2 + \frac{1}{2} \text{Br}_2 + \frac{3}{2} \text{H}_2\text{O}$ равны соотв. 13,92; 46,29; 65,48; 31,81, 33,67.

О. П.

X 1981 N 18

FeBr₂

1983

(P)

{ 100: 198562j Thermodynamic investigation for the hydrolysis of ferrous bromide dissolved in the eutectic potassium bromide-lithium bromide mixture. Ishikawa, Hiroshi; Ishii, Eiichi; Uehara, Itsuki; Nakane, Masanori (Osaka Ind. Res. Inst., Osaka, Japan). *Osaka Kogyo Gijutsu Shikensho Kiho* 1983, 34(4), 328-31 (Japan). As a study on the FeBr₂ based thermochem. cycle for water decompn., the eutectic mixt. of KBr-LiBr was used as a reaction medium for the steam hydrolysis of FeBr₂ at 700°. The activity coeff. of FeBr₂ dissolved in the melt was estd. from the ternary phase diagram. The equil. H₂O conversion predicted by thermodn. calcn. was in good agreement with exptl. obtained value. The vapor pressure of FeBr₂ above the melt seemed to be greatly reduced by the formation of KFeBr₃.

C.A. 1984, 100, N24

FeBr

1984

Иванова Л. Н.

Teplocoquus. PageoXrecessa, 1984,
♀-вид
26, №, 208--210.

(см. FrF; I).

Fe₂Bry [Om. 19449] 1984

Kubaschewski O.,

оценка

5° 298,

Cp;

High Temp.-High Pres-
sures, 1984, 16, № 2,
197-198.

Feb 2 (K, M)

1984

Pankratz L. B.,

M.G.P.
298.15
1207K

U. S. Bureau of
Mines, Bull. 674, p. 215.



215

FeBr

1986

105: 121784d Thermodynamic properties of gaseous di- and monohalides of iron, cobalt and nickel. Kharitonov, Yu. Ya.; Gerzha, T. V.; Averbukh, B. S.; Kuznetsov, S. L. (Mosk. Khim.-Tekhnol. Inst., Moscow, USSR). *Zh. Neorg. Khim.* 1986, 31(7), 1679-82 (Russ.). Spectral data and mol. statistics were used to calc. the thermodyn. functions (298.15-8000 K) of gaseous FeBr, CoBr, NiBr, Co₂, and NiI₂.

межног. ф-ии

298 - 8000K

(4)
18

C.A. 1986, 105, N 14

Co Br
Ni Br
Co₂
Ni I₂

FeBr (2)

1986

10 И84. Термодинамические свойства газообразных ди- и моногалогенидов железа, кобальта и никеля. Харитонов Ю. Я., Гержа Г. В., Авербух Б. С., Кузнецов С. Л. «Ж. неорган. химии», 1986, 31, № 7, 1679—1682

На основе молекулярных и спектральных данных поmono- и дигалогенидам железа, кобальта, никеля и с использованием найденной ранее эмпирич. корреляции между силовыми постоянными и длинами связей металл — галоген рассчитаны статистич. методом термодинамич. ф-ции ряда газообразных mono- и дигалогенидов указанных металлов в температурном интервале 298,15—8000 К.

Резюме

(44)

⊗



CoBr, NiBr, CoI₂,

NiI₂

оф. 1986, 18, N 10

FeBr (Г)

1986

22 Б3022. Термодинамические свойства газообразных ди- и моногалогенидов железа, кобальта и никеля. Харитонов Ю. Я., Гержа Т. В., Авербух Б. С., Кузнецова С. Л. «Ж. неорган. химии», 1986, 31, № 7, 1679—1682

На основе молек. и спектральных данных поmono- и дигалогенидам железа, кобальта, никеля и с использованием найденной ранее эмпирич. корреляции между силовыми постоянными и длинами связей металл—галоген рассчитаны статистич. методом термодинамич. ф-ции ряда газ. mono- и дигалогенидов в т-рном интервале 298,15—8000 К. При 298,15 К значения Φ^0 , S^0 , C_p^0 Дж/моль·К и $H_t^0 - H_0^0$ кДж/моль составили соотв.: FeBr 227,94, 260,98, 36,54 и 9,85; CoBr 226,83, 259,51, 36,10 и 9,75; NiBr 227,54, 260,22, 36,29 и 9,74; CoJ₂ 279,25, 33248. 60,25 и 15,87; NiJ₂ 273,47, 326,70, 60,25 и 15,87.

А. С. Гузей

*термодин-
ст-ва*

(4)

X. 1986, 1.9, N 22

FeBr₂ Щебоксарова В.Г., 1988

Калориметрическое определение Энтальпии образования 20 изогестических ячеек, Кодорльма, никелия.

ΔHf;

Атомарная форма фосфорной кислоты на восстановление гидроксид аммония



K. X. M., Москва,
1988.

FeBr₃ Евдокимова В.П., 1988

Коллориметрическое опреде-
ление энтомохимической обра-
зования 20 изотопамидов иоди-
за, кобальта, никеля.

ДНГ;

Автор реферата диссертации
на соискание учёной
степени доктора физико-математических наук
R.X.M., Москва,
1988.

OM. 30815

1988



Gregory N.W.,
Inorg. Chem. 1988, 27,
N 23, 4264-69.
(DHF)

Feb 2 (K)

(M 32398)

1989

24 Б3054. Стандартные энталпии образования кристаллических бромидов железа / Ефимов М. Е., Евдокимова В. П. // Ж. физ. химии.— 1989.— 63, № 8.— С. 2232—2234.— Рус.

В калориметре р-рения с изотермич. оболочкой установки ЛКБ-8700 проведены измерения энталпий р-ций $\text{Br}_2(1)$, $\text{Fe}(\text{сг})$, $\text{FeBr}_2(\text{сг})$ и $\text{FeBr}_3(\text{сг})$ с р-ром $\text{KBr} \cdot 0,43\text{Br}_2 \cdot 0,12\text{HBr} \cdot 50,78\text{H}_2\text{O}$ при 298,15 К. На основании полученных данных вычислены значения: $-\Delta_f H^\circ$ (298,15 К), равные соотв. для $\text{FeBr}_2(\text{сг})$ $244,74 \pm 0,22$ и для $\text{FeBr}_3(\text{сг})$ $262,63 \pm 0,20$ кДж/моль.

Резюме

(4) ④



Ж. 1989, № 24

FeBr₂

Лон. 32398]

1989

Зоринов М.Е., Сбгоресюса Б.И.,

(64)

ал. Физ.-химии, 1989,
63, № 8, 2232-2234

$\text{FeBr}_3(\text{k})$ (M 32398) 1989

Ефимов И. Е.,

Евдокимова В. П.

Ж. геол. химии, 1989.

63, № С. 2232-2234.

ΔH_f°

(см. $\text{FeBr}_2(\text{k})$; ?)

FeBr_2

(M 32398)

1989

111: 182080s Standard heat of formation of crystalline iron bromide. Efimov, M. E.; Evdokimova, V. P. (Inst. Vys. Temp., Moscow, USSR). *Zh. Fiz. Khim.* 1989, 63(8), 2232-4 (Russ). An isothermal calorimeter was used to measure the heats of reactions of solns. contg. Br_2 (liq.), Fe(c), FeBr_2 (c), and FeBr_3 (c) in order to derive the heats of formation of cryst. FeBr_2 and FeBr_3 , under std. conditions.

Shaq, SHF

~~7/8~~ FeBr_3

c. A. 1989, 111, N 20

FeBr₃

(M-32398)

1989

Elinov M. E., Evdo-
kinova V. P.

1 H_{aq},
1 H_f;

Zh. Fiz. Khim. 1989,
63 (8), 2232-4.

(aer. FeBr₂; T)

FeBr₂

1992

2 В10. Лабораторный синтез FeBr₂ /Михальцева И. С.,
Гриднев А. А. //Изв. РАН. Сер. хим. —1992 .—№ 8 .—С.
1927—1928 .—Рус. ;рез. англ.

Предложен лаб. метод получения безводн. FeBr₂ путем
кипячения FeBr₃ или его кристаллогидрата в толуоле или
ксилоле в течение 3—4 ч. Выход количественный. Полученные
данным способом FeBr₂ или ⁵⁷FeBr₂ могут быть
использованы для синтеза порфириновых комплексов
железа.

Синтез

X. 1993, №2

FeBr_2 (kp) 1995

Parker V. B.,
Khodakovskii I. L.

mpneo- J. Phys. Chem. Ref.
reer. Data 1995, 29 (5),
1699-1745.

(ceel. Fe^{2+} ; ?)

FeBr_3 (kp)

1995

Parker V. B.,
Khodakovskii I. L.

measess - J. Phys. Chem. Ref.
Tables. Data 1995, 24(5),
1699-1745.

(crys. Fe^{2+} ; I)

FeBr_2

1996

Bardi G., Brezetti B.,
et al.

(P, AH₃)

J. Chem. and Eng. Data
1996, 41, N. C. 14-20.

(cir. FeF_2 ; I)

FeBz

1996

Baeischlicher Ch.W.Jr.,

Chem. Phys. 1996,
211, N 1-3, C, 163 -
169.

(cell. FeF; ?);

Feb 2

1996

125: 314577k Specific-heat anomaly in the Ising antiferromagnet FeBr_2 in external magnetic fields. Katori, H. Aruga; Katsumata, K.; Katori, M. (Inst. Phys. Chem. Res., RIKEN, Saitama, Japan 351-01). *Phys. Rev. B: Condens. Matter* 1996, 54(14), R9620-R9623

(Eng). Specific-heat measurements were performed on the Ising antiferromagnet FeBr_2 in external magnetic fields. The temp. dependence of the magnetic sp. heat shows two anomalies in external fields below the metamagnetic transition field. The anomaly at a higher temp. indicates the phase transition from the paramagnetic to antiferromagnetic phase. The lower-temp. anomaly shows up as a peak superposed on a broad shoulder. The peak becomes sharp with the increase of magnetic field up to 2.9 T, which shows the existence of a new phase under a magnetic field. A theor. anal. based on the pair approxn. and Monte Carlo simulations reproduces the peak at the higher temp. and the broad shoulder. The broad shoulder appears as a result of competition between the nearest-neighbor ferromagnetic and the next-nearest-neighbor antiferromagnetic interactions in the triangular Fe lattice planes.

C.A./996, 125, 1424

FeBr₂(k)

1997

127: 74582d Anomalous heat capacity of antiferromagnet FeBr₂ in a magnetic field. Katori, H. Aruga; Katsumata, K.; Katori, M. (Inst. Phys. Chem., Saitama, Japan 351-01). *J. Appl. Phys.* 1997, 81(8, Pt. 2A), 4396-4398 (Eng), American Institute of Physics. Heat capacity measurements in external magnetic fields (H) were performed on the Ising antiferromagnet FeBr₂. The temp. dependence of the magnetic heat capacity shows two anomalies for $1.4 \text{ T} \leq H \leq 2.9 \text{ T}$. The anomaly at a higher temp. indicates the phase transition from the paramagnetic to antiferromagnetic phase. The anomaly at a lower temp. is formed by a sharp peak superposed on a broad shoulder. The existence of two peaks shows the occurrence of a new phase transition in addn. to the antiferromagnetic transition in magnetic fields. A Monte Carlo simulation for the heat capacity reproduces the peak indicating the antiferromagnetic transition and the broad shoulder. The nonuniform spin configurations in the layers with neg. moment, which is caused by the competition between the nearest-neighbor ferromagnetic and the next-nearest-neighbor antiferromagnetic interactions in the triangular Fe-planes, is shown to produce the broad shoulder.

*(Cp &
MORPH
none)*

C.A. 1997, 127, N5

Feby -

(DM 41873)

2003

Feb 3 -

Xin Yang, Kuei-fan Wang
et al.,

MEKMOH,
CNP-RC,
KCNPMOHEF,
PANEM

J. Chem. Phys., 2003,
119, N16, 8381 - 8389